

考号

姓名

班级

学校



高三地理考试

本试卷满分 100 分, 考试用时 90 分钟。

注意事项:

1. 答题前, 考生务必将自己的姓名、考生号、考场号、座位号填写在答题卡上。
2. 回答选择题时, 选出每小题答案后, 用铅笔把答题卡上对应题目的答案标号涂黑。如需改动, 用橡皮擦干净后, 再选涂其他答案标号。回答非选择题时, 将答案写在答题卡上。写在本试卷上无效。
3. 考试结束后, 将本试卷和答题卡一并交回。
4. 本试卷主要考试内容: 地球与地图、必修 1。

一、选择题: 本题共 22 小题, 每小题 2 分, 共 44 分。在每小题给出的四个选项中, 只有一项是符合题目要求的。

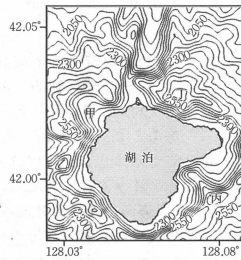
右图为我国一位户外旅游爱好者暑假期间游览某景区后, 所绘制的局部等高线(单位: m)地形图。据此完成 1~2 题。

1. 图中地势最高点与湖岸线的相对高差约为

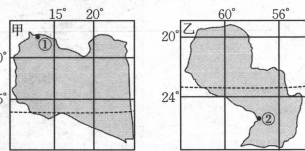
- A. 300 m
- B. 380 m
- C. 400 m
- D. 480 m

2. 该游客在拍摄日出景观时呈现较全的湖景, 所选择的最佳地点是

- A. 甲地
- B. 乙地
- C. 丙地
- D. 丁地



下图示意甲、乙两国地理位置, 且图幅面积相等。据此完成 3~4 题。



3. 与图甲相比, 图乙反映出

- ①该国国土面积更大
 - ②比例尺更小
 - ③该国国土面积更小
 - ④比例尺更大
- A. ①④
 - B. ②③
 - C. ①②
 - D. ③④

4. 图示①地位于②地的

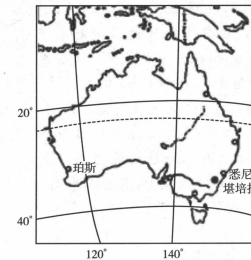
- A. 东北方
- B. 西南方
- C. 东南方
- D. 西北方

第九届国际足联女子世界杯于 2023 年 7 月 20 日至 8 月 20 日在澳大利亚和新西兰举办。北京时间 7 月 22 日 20 时, 在澳大利亚珀斯矩形球场, 中国队迎来女足世界杯小组赛首个

【高三地理 第 1 页(共 6 页)】

· 24 - 26C ·

对手丹麦队。下图示意珀斯的地理位置。据此完成 5~7 题。



5. 中国队与丹麦队的比赛开始时

- A. 全球处于同一天
- B. 伦敦旭日东升
- C. 北京烈日当空
- D. 纽约出现晚高峰

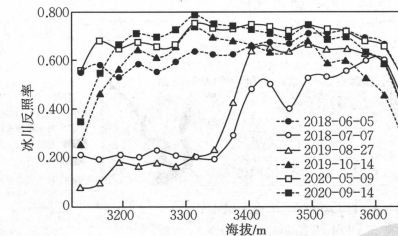
6. 在第九届国际足联女子世界杯举办期间, 北京

- A. 日出东南
- B. 白昼渐长
- C. 正午日影渐短
- D. 正午日影向北

7. 第九届国际足联女子世界杯举办期间, 珀斯

- A. 受暖流影响
- B. 受西风带影响
- C. 风力较弱
- D. 多晴朗天气

反照率是指冰川表面反射太阳总辐射与接收太阳总辐射的比率, 即反射辐射通量与入射辐射通量的比值。萨吾尔山位于天山和阿尔泰山中部过渡地段, 北临额尔齐斯河谷, 南入和布克赛尔盆地, 是新疆内陆水系和北冰洋的分水岭。萨吾尔山冰川总数共计 21 条, 木斯岛冰川位于萨吾尔山北坡, 是吉木乃县重要的地表水源地。下图示意不同时期内木斯岛的冰川反照率随海拔变化。据此完成 8~10 题。



8. 木斯岛冰川固态降水的水汽主要来自

- A. 和布克赛尔盆地
- B. 当地河水系
- C. 大西洋
- D. 北冰洋

9. 木斯岛冰川各时期反照率最稳定的海拔范围是

- A. 3200~3300 m
- B. 3300~3400 m
- C. 3400~3500 m
- D. 3500~3600 m

10. 木斯岛冰川反照率的变化特征是

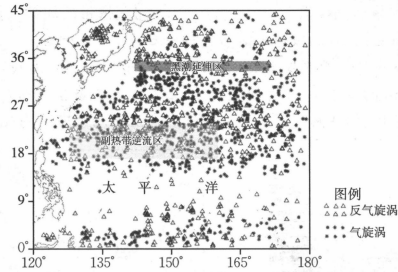
- A. 由冰川中部向冰川边缘逐渐增大
- B. 由冰川边缘向冰川中部逐渐增大
- C. 随海拔的升高逐渐增大
- D. 随海拔的升高逐渐降低

中尺度涡是海洋中普遍存在的涡旋现象, 时间尺度在几十到几百天, 空间尺度在几十到几百千米, 是世界海洋动能的主要储存库。中尺度涡对局地海洋化学以及生物环境会产生重要影

【高三地理 第 2 页(共 6 页)】

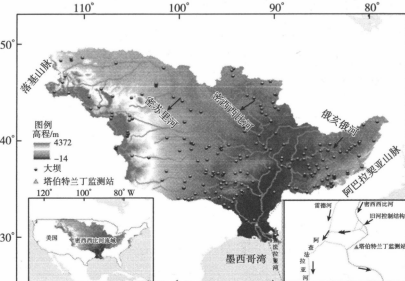
· 24 - 26C ·

响,有利于热量、盐分、溶解碳等要素的输送。西北太平洋尤其是黑潮延伸区和副热带逆流区,由于斜压不稳定性较强,中尺度涡数量较多。下图示意西北太平洋中尺度涡分布。据此完成11~12题。



11. 与西北太平洋 18°N~27°N 海域相比,8°N~10°N 海域气旋涡与反气旋涡数量少的主要原因是
- A. 海面涡旋时间尺度短,消失快
B. 海水温度稳定,海面气压差小
C. 位于赤道附近,地转偏向力小
D. 海域多岛屿分布,洋面较破碎
12. 副热带逆流区和黑潮延伸区的大气与洋流作用会
- A. 延伸海洋涡旋的空间尺度和时间尺度
B. 缩短海洋涡旋的空间尺度和时间尺度
C. 延伸海洋涡旋的空间尺度,缩短海洋涡旋的时间尺度
D. 缩短海洋涡旋的空间尺度,延伸海洋涡旋的时间尺度

密西西比河作为美国境内第一长河,年均径流量为 $6000 \times 10^8 \text{ m}^3$,年均输沙量为 $1.27 \times 10^8 \text{ t}$ 。然而,随着流域大坝、水土保持措施的实施,入海泥沙由 20 世纪 50 年代的 $4 \times 10^8 \text{ t/a}$ 锐减为 2013 年的 $1.2 \times 10^8 \text{ t}$ 。密西西比河月径流量自 10 月起逐渐增大,在次年 4 月达到峰值。在低径流量下河道悬沙浓度随流量的增加而增加,当河流径流量处于中等以上时,河道悬沙浓度反而下降。下图示意密西西比河流域水系。据此完成 13~14 题。



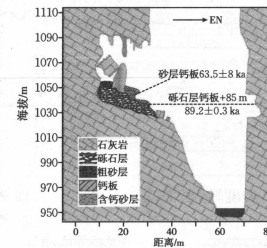
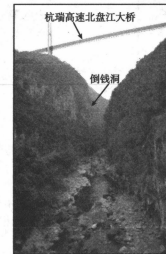
13. 密西西比河入海泥沙锐减可能引发河口三角洲
- A. 水体悬沙浓度降低,海水盐度下降
B. 入海河流改道,河床冲淤变化加强

【高三地理 第 3 页(共 6 页)】

· 24 - 26C ·

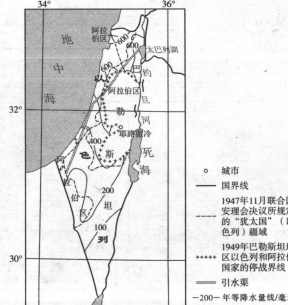
- C. 河水顶潮作用增强,入海流速减缓
D. 土壤侵蚀加剧,风暴潮威胁增强
14. 当密西西比河径流量处于中等以上时,河道悬沙浓度反而下降的主要原因是
- A. 河流挟带的泥沙被大坝大量截留
B. 有限泥沙被持续增长的水流稀释
C. 支流汇入的泥沙量达到峰值
D. 河流挟带的泥沙大量汇入海湾

北盘江发源于云南省东部,流域内可溶岩大面积出露,局部出露非可溶岩。北盘江峡谷深切,两岸峭壁陡立,峡谷中部的悬崖发育有倒钱洞(洞口高 40 m,宽 38 m,深约 20 m)。在倒钱洞洞口堆积了厚达 20 m 的砾石层,中等磨圆,且砾石层上普遍覆盖了洞穴次生化学沉积物。下图示意北盘江大峡谷景观、倒钱洞发育位置和倒钱洞内沉积物分布。据此完成 15~17 题。



15. 崖壁上倒钱洞的主要成因是
- A. 流水溶蚀
B. 物理风化
C. 河流侧向掏蚀
D. 岩层裂隙崩塌
16. 砾石层钙板的地质年代可用于判断
- A. 石灰岩形成的地质年代
B. 倒钱洞脱离河水的年代
C. 洞内接受砾石堆积的年代
D. 崖壁开始受侵蚀的年代
17. 图示砂层钙板的形成反映了
- A. 洞口次生化学沉积物减少
B. 倒钱洞发育处于停滞状态
C. 洞口曾经受短时山洪影响
D. 洞口砾石层风化加剧

以色列是地中海东南海岸一个狭长的半干旱国家,最南端的埃拉特湾与红海相连。受气候环境和地理因素影响,以色列是世界上天然淡水资源最贫乏的国家之一。以色列通过领先全球的精密水利技术以及智慧创新的节水科技,有效地解决了本国水资源短缺困境,沙漠面积大幅减少,是世界主要农产品出口大国之一。右图以以色列降水量分布图。据此完成 18~19 题。

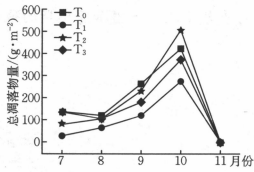


18. 以色列地表水资源最匮乏的地区是
- A. 东部地区
B. 西部地区
C. 南部地区
D. 北部地区
19. 影响以色列北部地区降水量的主要因素有
- ①地形 ②西风带 ③海陆热力性质 ④地表蒸发量
- A. ①②
B. ②③
C. ①④
D. ③④

【高三地理 第 4 页(共 6 页)】

· 24 - 26C ·

凋落物层是森林生态系统中一种独特的结构层次,凋落物能够有效地促进土壤的发育、维持土壤肥力、涵养水源,并在生态系统的物质循环、能量流动、养分平衡等过程中起着重要作用。吉林省东北部长白山北麓年平均气温4.9℃,年总降水量574.9mm,森林覆盖率81.4%,植被以云冷杉为主。右图示意不同林地(T₀:对照样地;T₁:常规抚育样地;T₂:保留用材目标树密度为100株/hm²样地;T₃:保留用材目标树密度为150株/hm²样地)云冷杉林总凋落物量的月动态。据此完成20~22题。

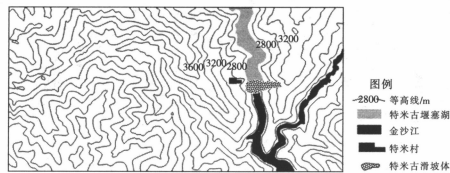


20. 影响云冷杉林凋落物总量发生月动态变化的主要因素有
①气温 ②风力 ③光照 ④水分
A. ①② B. ②③ C. ①④ D. ③④
21. 不同云冷杉林地针叶量大小顺序表现为
A. T₂>T₀>T₃>T₁ B. T₀>T₁>T₂>T₃
C. T₁>T₃>T₂>T₀ D. T₃>T₀>T₁>T₂
22. 云冷杉林凋落树叶有利于
A. 促进植被体内水分循环 B. 减少植被体内养分消耗
C. 增加林下土壤水分蒸发 D. 降低森林火灾发生频率

二、非选择题:共56分。

23. 阅读图文材料,完成下列要求。(12分)

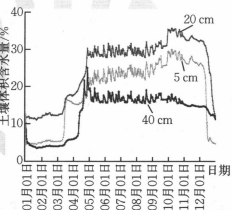
特米古堰塞湖位于青藏高原东南缘金沙江上游巴塘河段。该河段属金沙江流域的深切峡谷地貌,地势起伏大,相对高差在2000m以上,两岸山体自然坡度陡峻,在30°以上。该区域内河谷多呈“V”形,宽度为200~400m,属于热河谷气候,年平均降雨量小于400mm,降雨主要集中在7~9月。该湖气温最高月为7月,平均气温为19℃;气温最低月为1月,平均气温为3.7℃。下图示意金沙江上游巴塘河段地形。



- (1) 指出特米古滑坡体发生的河岸,并说明理由。(4分)
(2) 说出特米村选址的有利自然条件。(4分)
(3) 说明特米古滑坡体形成后对上游河段产生的影响。(4分)

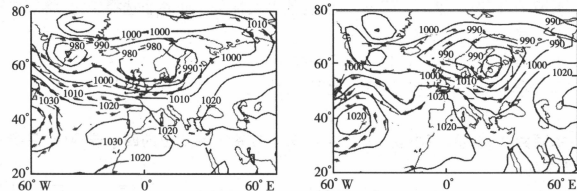
24. 阅读图文材料,完成下列要求。(12分)

土壤水分不仅是生态系统中最活跃、最具影响的因素之一,还是林木生长和发育的必要环境因子。川西亚高山林区是我国西南林区的主体和长江上游重要的水源涵养地与生态屏障。川西亚高山林区(亚高山暗针叶林)的海拔差异悬殊,地形多变,地貌复杂,一年中土壤很长一段时间被积雪覆盖。右图示意2019年川西亚高山林区5cm、20cm和40cm深度处土壤平均体积分含水量的动态变化。



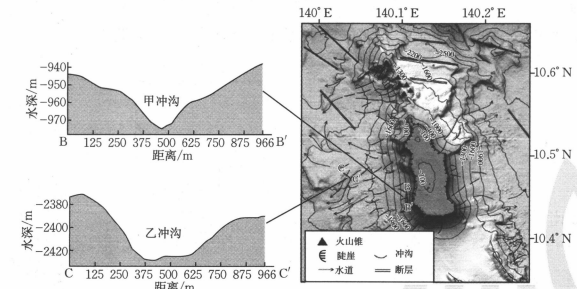
- (1) 指出川西亚高山林区三种土壤层土壤体积分含水量的特征。(4分)
(2) 分析3月5cm土壤层土壤体积分含水量变化最显著的原因。(4分)
(3) 说明40cm土壤层土壤体积分含水量5~10月波动幅度较小的原因。(4分)
25. 阅读图文材料,完成下列要求。(16分)

2022年2月17日-19日,温带气旋风暴“尤尼斯”袭击英国、德国、荷兰、比利时、波兰等多个欧洲国家。在“尤尼斯”快速移动过程中,气旋中心海平面气压在18小时下降约30hPa,海平面气压最低达970hPa。在“尤尼斯”影响下,英格兰附近最高风速达54.4m/s,该风速为近30年最强,相当于我国的超强台风级别(16级)。下图分别为2022年2月16日和19日北大西洋20:00海平面气压场(hPa)与1000hPa风场。



- (1) 推测2022年2月17日-19日此次温带气旋的移动方向,并说明理由。(6分)
(2) 分析此次温带气旋生成的主要成因。(6分)
(3) 简述此次温带气旋的主要特征。(4分)
26. 阅读图文材料,完成下列要求。(16分)

海山是岩石圈、水圈与生物圈相互作用形成的海洋重要地貌,海山不仅能够提供岩浆活动的时空变化信息,还可以改变周围的海水流动,孕育独特的生态系统。卡罗琳M4平顶海山位于西太平洋卡罗琳海脊之上,主要由玄武岩组成,是一个由火山作用形成的海底高原。卡罗琳M4平顶海山周围的上升流提高了周围的生产力,使高原面上覆盖较厚的碳酸盐,形成一座被淹没的碳酸盐台地。该海山斜坡在山顶周围较为陡峭,向山脚处逐渐趋于平缓,即坡度随水深增大而减小。下图示意卡罗琳M4平顶海山冲沟剖面及地理位置和地貌、等高线(单位:m)。



- (1) 指出卡罗琳M4平顶海山附近冲沟的分布特征。(4分)
(2) 说明卡罗琳M4平顶海山形成碳酸盐台地的过程。(6分)
(3) 对比甲、乙两冲沟形态的差异,并说明其原因。(6分)

关于我们

自主选拔在线是致力于提供新高考生涯规划、强基计划、综合评价、三位一体、学科竞赛等政策资讯的升学服务平台。总部坐落于北京，旗下拥有网站（[网址：
www.zizs.com](http://www.zizs.com)）和微信公众平台等媒体矩阵，用户群体涵盖全国 90% 以上的重点中学师生及家长，在全国新高考、自主选拔领域首屈一指。

如需第一时间获取相关资讯及备考指南，请关注**自主选拔在线**官方微信号：[zizzsw](https://www.zizs.com)。



 微信搜一搜

 自主选拔在线